

# VÍCESTUPŇOVÁ ABSORPCE EMISÍ FLUORU Z LEŠTĚNÍ OLOVNATÉHO SKLA

Jan BARTOŇ, Helena PAJKRTOVÁ, Pavel TOMEŠ  
Crystalex, Technická divize, Nový Bor

## FOURSTEPS ABSORPTION OF FLUORINE EMISSION FROM THE POLISHING OF LEAD GLASS

A balance model of the absorption of fluorine emission from the polishing of lead glass is described in this article. It was found, that in the case of the foursteps absorption of fluorine emission, the concentration of HF in the stack is about 1 milligram in the cubic meter of waste gases.

V článku je uveden bilanční model vícestupňové absorpce emisí fluoru z leštění olovnatého skla. Bylo zjištěno, že v případě čtyřstupňové absorpce emisí fluoru lze dosáhnout koncentrace v komíně kolem 1 mg HF v m<sup>3</sup>.

### Úvod

Chemické leštění skla kyselinou fluorodividkovou je stále dominujícím způsobem leštění broušeného olovnatého skla i přes občasné zprávy [1] o netradičních metodách leštění olovnatého skla. Exhalacemi fluoru z leštění olovnatého skla se u nás zabývali autoři publikaci [2,3]. V Crystalexu byl v lednu 1993 uveden do zkušebního provozu čtyřstupňový absorber emisí fluoru z leštění olovnatého skla na leštěcích zařízení typu Achthal. Tento článek uvádí první praktické zkušenosti s touto novou absorpční technologií.

### Theoretická část

Existence kyseliny hexafluorodividkové v leštěci lázně při leštění olovnatého kríštálu s obsahem 24 % hmot. PbO byla prokázána v práci [4]. Analytický postup při rozboru leštěcí lázně je v předmětu práce [5]. Z této práce vyplývá, že intenzivní rozklad kyseliny hexafluorokfemičíté začíná až při teplotách nad 50 °C a koncentraci kyseliny sírové nad 60 % hmot. Produktorem rozkladu jsou plynné částice HF a SiF<sub>4</sub>.

### Bilanční model vícestupňového absorberu

Na obr.1 je uvedeno zjednodušené technologické schéma čtyřstupňové absorpce emisí HF a SiF<sub>4</sub>. Vzdušina z leštěcích zařízení LZ je vedena třemi věžovými absorbery A. Po průchodu těmito absorbery se smíší se vzdušinou nasávanou z pracovního prostředí a vede se pěnovým absorberem PA. Odtud proudí

vzdušina do komína K. Absorpční kapalinou je voda protékající protiproudě z nádrže Z<sub>4</sub> až do Z<sub>1</sub> a z této nádrže odchází koncentrovaná kyselina hexafluorokfemičítá. Systém na obr.1 je bilančně popisán následujícími vztahy (1) až (6):

$$M_V = (-0,0015187 + 0,0009815 t_v) \cdot (1 - \Omega) \quad (1)$$

$$V_1 c_{F1} + V_3 c_{F2} = M_{AK} x_{AK} 0,791 + c_{F5} (V_1 + V_3 + (V_1 + V_3) M_V R \cdot (273 + t_v) / (18 p)) \quad (2)$$

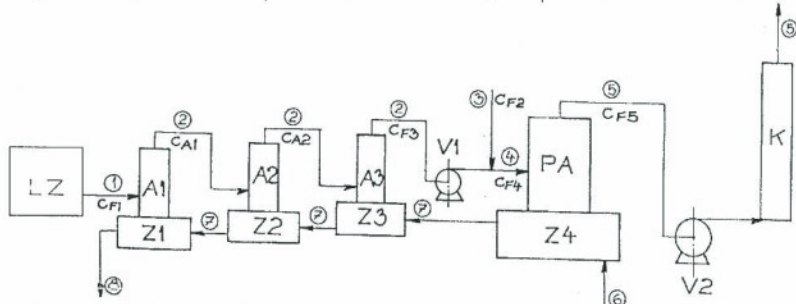
$$M_{AV} = M_{AK} (1 - x_{AK}) + V_3 M_V \quad (3)$$

$$c_{F3} = (1 - \beta_1) (1 - \beta_2) (1 - \beta_3) c_{F1} \quad (4)$$

$$c_{F4} = (V_1 c_{F3} + V_3 c_{F2}) / (V_1 + V_3) \quad (5)$$

$$c_{F5} = (1 - \beta_4) c_{F4} \quad (6)$$

Vztah (1) vypočítává množství vody, které se odpaří do nasycení 1 m<sup>3</sup>



Obr.1 - Schéma vícestupňové absorpční linky

LZ - leštěcí zařízení, A - věžový absorber, PA - pěnový absorber, V - ventilátor, Z - nádrže na absorpční medium, K - komín  
1 - vzdušina z leštěcích zařízení, 2 - vzdušina z věžových absorberů, 3 - vzdušina z prostoru leštěny, 4 - vzdušina do pěnového ho absorberu, 5 - vzdušina do komína, 6 - nástrčka čerstvé vody do absorpce, 7 - absorpční medium, 8 - absorpční kyselina

vzdušiny ( $M_1$ ),  $\varOmega$  je relativní vlhkost vzduchu,  $t_v$  je teplota vzdušiny v intervalu 10 až 28 °C. Vztah (2) je celkovou jednosložkovou bilancí fluoru v systému na obr.1 (R je univerzální plynová konstanta a  $p$  tlak vzdušiny). Vztah (3) je bilancí vody v systému včetně odparu vody do vzdušiny. Ve vztazích (4) a (6) je zavedena účinnost absorpcie podle vztahu (7):

$$\beta = 1 - (c_o / c_f) \quad (7)$$

kde  $c_f$  - koncentrace fluoru ve vzdušině na vstupu  
 $c_o$  - koncentrace na výstupu z absorberu.

Vztah (5) popisuje smísení vzdušiny před pěnovým absorberem.

### Experimentální část

#### Provozní měření v absorpční lince

Stávající technické vybavení absorpční linky neumožňuje automatické doplňování absorpční kapaliny

### Analytická část

#### A Stanovení koncentrace fluoru ve vzdušině

Vzdušina byla prosávána absorpčními baňkami s roztokem NaOH. Koncentrace fluoru v absorpční kapalini byla stanovena iontové selektivní elektrodou a přepracována na 1 m³ vzdušiny.

#### B Stanovení HF a $H_2SiF_6$ v absorpční kapalině

Stanovení bylo provedeno podle práce [7]. Výsledky stanovení jsou udávány buď jako celková koncentrace fluoru nebo je tato koncentrace přepracována na koncentraci  $H_2SiF_6$ .

#### C Stanovení poměru HF a $SiF_4$ ve vzdušině

Vzdušina byla odebrána podobně jako v případě stanovení celkové koncentrace fluoru, avšak místo do roztoku NaOH byly plynne složky HF a  $SiF_4$ , ze vzdušiny adsorbovány na kopolymer nasycený mravencem sodným. Adsorbované plyny byly vymýty citronanovým elučním roztokem a suma fluoridů byla stanovena iontovou

absorberu a účinnosti absorberů.

Vzávorce za naměřenými koncentracemi uveden počet měření, z nichž byl vypočten průměr. Účinnost  $\beta$  je vypočtena z průměrných koncentrací fluoru ve vzdušině. Z tab. I vypírává, že účinnost absorberů vypočtená z průměrných hodnot koncentrací fluoru ve vzdušině je blízká 0,9 mimo absorber  $A_3$ . Vzhledem k tomu, že absorbery  $A_1$  až  $A_3$  byly nultou sérií této typu absorberů, může být nízká účinnost absorberu  $A_3$  způsobena nevhodným typem výplně nebo jinou technickou příčinou. Bylo zjištěno, že účinnost absorberů prakticky nezávisí v daném koncentračním rozmezí  $R_e$  v absorpční kapalině na koncentraci fluoru v kapalné fází.

#### Stanovení poměru HF a $SiF_4$ ve vzdušině z leštěcí zařízení

Jak již bylo uvedeno v teoretické části, z leštěcí lázně se odpařuje jednak HF, která se do lázně přidává tak, aby byla udržena její konstantní koncentrace, a jednak dochází k rozkladu  $H_2SiF_6$  na HF a  $SiF_4$ , přičemž obě složky rozkladu mohou těkat z leštěcí lázně. Byly proto provedeny dva odber vzdutiny ze leštěním zařízením tak, že odberaná vzdutina byla analyzována postupem uvedeným v experimentální části C. V tab. II jsou uvedeny výsledky analýzy. Koncentrace  $c_{HF}$  využívají množství HF odpovídající stechiometrii rozkladu  $H_2SiF_6$  dle schematic:



Tab.I - Průměrná koncentrace fluoru ve vzdušině, účinnost absorberů  $\beta$  a rozmezí koncentrace fluoru  $R_e$  v absorpční kapalné absorberu

Symbol	Koncentrace <sup>1</sup> [kg.m <sup>-3</sup> ] <sup>10</sup>	Absorber	$\beta$ [1]	$R_e$ [kg.m <sup>-3</sup> ]
$c_{F1}$	927 (6)			
$c_{A1}$	113 (11)	$A_1$	0,88	0 - 150
$c_{A2}$	5,6 (9)	$A_2$	0,95	0 - 50
$c_{F3}$	2,8 (9)	$A_3$	0,50	0 - 8
$c_{F4}$	29 (2)			
$c_{F5}$	1,3 (19)	PA	0,95	0 - 3

<sup>1</sup> V závorce uveden počet měření, z nichž byl vypočten průměr

v systému. Během provozního měření bylo proto postupováno tak, že se do všech nádrží absorberů napustila čistá voda, v nádržích  $Z_1$  až  $Z_3$  se diskontinuálně protiproudě doplnovala voda po 16 hodinách provozu přes nádrž  $Z_3$  tak, aby absorpční kapalina byla na úrovni přepadu. Absorpční kyselina hexafluorokřemičitá se během měření neodpouštěla a koncentrace fluoru v kapalné fází nádrže  $Z_1$  postupně dosáhla až 150 kg.m<sup>-3</sup>. Nádrž  $Z_4$  se během měření nedoplňovala. Z absorpční kapaliny všech absorberů byly v hodinových běžích dvouhodinových intervalech odebrávány vzorky pro stanovení obsahu fluoru a z potrubí před a za absorbery byla odebrána vzdušina pro stanovení koncentrace fluoru ve vzdušině.

vé selektivní elektrodou. Po okyselení roztoku zředěnou HCl byl obsah  $SiO_2$  stanoven fotometricky. Z nalezených koncentrání fluoru a křemičítka byly vypočteny koncentrace  $SiF_4$  a HF ve vzdušině.

### Výsledky a diskuse

#### Koncentrace fluoru ve vzdušiněch absorpčního systému

V tab.I jsou shrnutý výsledky měření koncentrace fluoru ve vzdušině

Tab.II - Koncentrace HF ( $c_{HF}$ ) a  $SiF_4$  ( $c_{SiF_4}$ ) ve vzdušině za leštěním

Měření	Koncentrace [mg.m <sup>-3</sup> ]			
	$c_{HF}$	$c_{SiF_4}$	$c'_{HF}$	$c'_{SiF_4}$
1	302	254	97,6	204,4
2	589	294	113	476

$$c_{HF} = c_{HF} - c'_{HF}$$

Koncentrace  $c_{HF}$  odpovídá rozdílu  $c_{HF} - c'_{HF}$  a značí nadbytek HF vůči stechiometrickému poměru mezi HF a  $SiF_4$  pro výrobu  $H_2SiF_6$ . Nalezené hodnoty koncentrací HF a  $SiF_4$  vyšvětlují, proč jsou v absorpční kapalině nalezány HF i  $H_2SiF_6$ , a to v důsledku nadbytku HF.

#### Bilancní výpočet průtoku vzdušiny absorberu

Pro systém absorberů podle obr.1 lze formulovat bilancní vztahy (9), (10) a (11) pro výpočet průtoku vzdušiny absorberů  $A_1$ ,  $A_2$  a  $A_3$  a pěnovým absorberem PA:

$$V_1 (c_{F1} - c_{F3}) = V_A \delta c_{F3} \quad (9)$$

$$V_2 (c_{F4} - c_{F3}) = V_{PA} \delta c_{FK} \quad (10)$$

$$V_3 = V_2 - V_1 \quad (11)$$

kde je  $\delta c_{FK}$  - přírůstek koncentrace fluoru v absorpcní kapalině absorberů  $A_1, A_2, A_3$

$V_A$  - objem absorpcní kapaliny v absorberu A

$\delta c_{FK}$  - přírůstek koncentrace fluoru v absorpcní kapalině absorberu PA

$V_{PA}$  - objem absorpcní kapaliny v absorberu PA.

nich a výstupních veličin bilančního modelu a hodnoty vstupních a výstupních veličin získaných bilančním modelem. Ve sloupci Přesnost (tab.III) lze pozorovat vliv pěsnosti vstupních veličin na pěsnost výstupních veličin modelu. Jestliže účinnosti stanovíme s pěsností 1 % rel., pěsnost vypočtených hodnot koncentrace fluoru v komině lze očekávat kolem 21 % rel.

Obecný emisní limit pro koncentraci fluoru ve vzdutině vypočtené do atmosféry je podle opatření FVŽP, částka 84/92 Sb., po plnou formu 10 mg HF v m<sup>3</sup>. V tab.IV je

uvezena závislost koncentrace fluoru ve vzdutině vypočtené do komína na koncentraci fluoru ve vzdutině nasávané z leštěcí zařízení (s účinností absorberů podle tab.III). Podle výsledků uvedených v tab.IV by absorpcní systém byl schopen bez výraznějšího vzrůstu koncentrace HF v emisích z komína vyčistit i desetinásobně vyšší koncentrace fluoru ve vzdutině z leštěcího zařízení.

V tab.V jsou uvedeny výsledky výpočtu koncentrace  $c_{F3}$  v absorpcním systému v závislosti na účinnosti absorberů. V případě č. 1 je vzdutina z leštěcího zařízení vedena systémem tří absorberů podle obr.1, v případě č. 2 je vzdutina z leštěcího zařízena dvojicí absorberů  $A_1$  a  $A_2$ , v případě č. 3 je v činnosti pouze absorber  $A_1$  s PA na obr.1 a v případě č. 4 je vzdutina absorbována pouze v pěnovém absorberu PA. Z tab.V plyne, že při výřazení třístupňové absorpce vzdutiny z leštěcího zařízení a ponechání pouze absorpce v pěnovém absorberu vzrost koncentrace fluoru ve vzdutině odcházející z leštění na hodnotu 28,5 mg.m<sup>-3</sup>.

## Závěr

V práci je uveden bilanční model čtyřstupňové absorpce emisí fluoru z leštěcího zařízení. Model byl využit pro výpočet vlivu koncentrace fluoru ve vzdutině z leštěcího zařízení na koncentraci fluoru ve vzdutině vypočtené do atmosféry. Vícestupňová absorpce emisí z leštění olivového skla je účinným technologickým

Tab. III - Vstupní (x) a výstupní (y) veličiny bilančního modelu

Veličina	Hodnota	Typ veličiny	Přesnost [% rel.]
$t_v$	15 °C	x	1
$\Omega$	0,8	x	1
$V_1$	2 575 m <sup>3</sup> .h <sup>-1</sup>	x	1
$V_3$	6 450 m <sup>3</sup> .h <sup>-1</sup>	x	1
$c_{F1}$	927,10 <sup>4</sup> kg.m <sup>-3</sup>	x	1
$c_{F2}$	40,10 <sup>6</sup> kg.m <sup>-3</sup>	x	1
$M_{AK}$	20 kg.h <sup>-1</sup>	x	1
$\beta_1$	0,88	x	1
$\beta_2$	0,95	x	1
$\beta_3$	0,5	x	1
$\beta_4$	0,95	x	1
$M_v$	2,64,10 <sup>3</sup> kg.m <sup>-3</sup>	y	4,2
$M_{AV}$	33,7 kg.h <sup>-1</sup>	y	2,5
$x_{AK}$	0,166	y	1,6
$c_{F3}$	2,8,10 <sup>6</sup> kg.m <sup>-3</sup>	y	20,4
$c_{F4}$	29,4,10 <sup>4</sup> kg.m <sup>-3</sup>	y	1,2
$c_{F5}$	1,3,10 <sup>2</sup> kg.m <sup>-3</sup>	y	21,3

Riešením soustavy rovnic (9) - (11) bylo nalezeno pro  $V_A = 0,35$  m<sup>3</sup>,  $V_{PA} = 2,5$  m<sup>3</sup>,  $\delta c_{FK} = 6,8$  kg.h<sup>-1</sup>.m<sup>-3</sup>,  $\delta c'_{FK} = 0,1$  kg.h<sup>-1</sup>.m<sup>-3</sup> a pro hodnoty koncentraci fluoru ve vzdutině z tab.II:

$$V_1 = 2 575 \text{ m}^3 \cdot \text{h}^{-1}$$

$$V_2 = 9 025 \text{ m}^3 \cdot \text{h}^{-1}$$

$$V_3 = 6 450 \text{ m}^3 \cdot \text{h}^{-1}$$

Z celkového množství vzdutiny procházející absorberem PA je asi 75 % nasáváno z prostoru leštění a 25 % prochází vícestupňovou absorpcí.

### Modelové výpočty

Soustava rovnic (1) až (6) byla řešena programem KOMAT [8,9], který kromě řešení soustavy rovnic vypočítá rovněž pěsnost vypočtených veličin z hodnot pěsnosti vstupních veličin. Tab.III uvádí přehled vstup-

Tab.IV - Vliv koncentrace  $c_{F3}$  na koncentraci  $c_{F5}$  v absorpcním systému a produkce absorpcní kyseliny  $M_{AK}$  o koncentraci 30 % hmot. H<sub>2</sub>SiF<sub>6</sub>

Koncentrace z leštěcího zařízení $c_{F3}$ [kg.m <sup>-3</sup> ] 10 <sup>4</sup>	Koncentrace v komině $c_{F5}$ [kg.m <sup>-3</sup> ] 10 <sup>3</sup>	Produkce absorpcní kyseliny $M_{AK}$ [kg.h <sup>-1</sup> ]
927	1,32	10,6
2 000	1,36	22,6
5 000	1,43	55,3
10 000	1,67	109,3
50 000	3,21	543,3
100 000	5,14	1 086,0

Tab.V - Vliv účinnosti absorberů na koncentraci fluoru ve vzdutině odcházející do atmosféry  $c_{F5}$  pro  $c_{F3}$  = 927,10<sup>4</sup> kg.m<sup>-3</sup>

Č.	Koncentrace v komině $c_{F5}$ [kg.m <sup>-3</sup> ] 10 <sup>3</sup>	Účinnost absorpcního stupně			
		$\beta_1$	$\beta_2$	$\beta_3$	$\beta_4$
1	2,88	0,9	0,9	0,9	0,9
2	3,12	0,9	0,9	0	0,9
3	5,45	0,9	0	0	0,9
4	28,52	0	0	0	0,9

$$V_2 (c_{F4} - c_{F3}) = V_{PA} \delta c_{F4} \quad (10)$$

$$V_3 = V_2 - V_1 \quad (11)$$

kde je  $\delta c_{F4}$  - přírůstek koncentrace fluoru v absorpcní kapalině absorbérů  $A_1, A_2, A_3$

$V_A$  - objem absorpcní kapaliny vabsorbéru A

$\delta c_{F4}$  - přírůstek koncentrace fluoru v absorpcní kapalině absorbérů PA

$V_{PA}$  - objem absorpcní kapaliny vabsorbéru PA.

nich a výstupních veličin bilančního modelu a hodnoty vstupních a výstupních veličin získaných bilančním modelem. Ve sloupci Přesnost (tab.III) lze pozorovat vliv na přesnost vstupních veličin na přesnost výstupních veličin modelu. Jestliže účinnosti stanovíme s přesností 1 % rel., přesnost vypočtených hodnot koncentrace fluoru v komíně lze očekávat kolem 21 % rel.

Obecný emisní limit pro koncentraci fluoru ve vzdušně vypouštěné do atmosféry je podle opatření FVŽP, částka 84/92 Sb., po plynoucí formu 10 mg HF v m<sup>3</sup>. V tab.IV je

uvezena závislost koncentrace fluoru ve vzdušně vypouštěné do komína na koncentraci fluoru ve vzdušně nasávané z leštěcího zařízení (účinnost absorbérů podle tab.III). Podle výsledků uvedených v tab.IV by absorpcní systém byl schopen bez výraznějšího vzrůstu koncentrace HF v emisích z komína vyčistit i desetinásobně vyšší koncentrace fluoru ve vzdušně z leštěcího zařízení.

V tab.V jsou uvedeny výsledky výpočtu koncentrace  $c_{F4}$  v absorpcním systému v závislosti na účinnosti absorbérů. V případě č. 1 je vzdušina z leštěcího zařízení vedena systémem tří absorbérů podle obr.1, v případě č. 2 je vzdušina z leštěcího zařízena vedená systémem dvou absorbérů  $A_1$  a  $A_2$ , v případě č. 3 je v činnosti pouze absorbér  $A_1$  PA na obr.1 a v případě č. 4 je vzdušina absorbována pouze v pěnovém absorbéraru PA. Z tab.V plyne, že při výřazení třístupňové absorpce vzdušně z leštěcího zařízení a ponechání pouze absorpce v pěnovém absorbéraru vzrosté koncentrace fluoru ve vzdušně odcházející z leštění na hodnotu 28,5 mg.m<sup>-3</sup>.

## Závěr

V práci je uveden bilanční model čtyřstupňové absorpce emisí fluoru z leštěcího zařízení. Model byl využit pro výpočet vlivu koncentrace fluoru ve vzdušně z leštěcího zařízení na koncentraci fluoru ve vzdušně vypouštěné do atmosféry. Vícestupňová absorpce emisí z leštění olovnatého skla je účinným technologickým

Tab. III - Vstupní (x) a výstupní (y) veličiny bilančního modelu

Veličina	Hodnota	Typ veličiny	Přesnost [% rel.]
$t_v$	15 °C	x	1
$\Omega$	0,8	x	1
$V_1$	2 575 m <sup>3</sup> .h <sup>-1</sup>	x	1
$V_3$	6 450 m <sup>3</sup> .h <sup>-1</sup>	x	1
$c_{F1}$	927,10 <sup>4</sup> kg.m <sup>-3</sup>	x	1
$c_{F2}$	40,10 <sup>4</sup> kg.m <sup>-3</sup>	x	1
$M_{AK}$	20 kg.h <sup>-1</sup>	x	1
$\beta_1$	0,88	x	1
$\beta_2$	0,95	x	1
$\beta_3$	0,5	x	1
$\beta_4$	0,95	x	1
$M_v$	2,64,10 <sup>3</sup> kg.m <sup>-3</sup>	y	4,2
$M_{AV}$	33,7 kg.h <sup>-1</sup>	y	2,5
$x_{AK}$	0,166	y	1,6
$c_{F3}$	2,8,10 <sup>4</sup> kg.m <sup>-3</sup>	y	20,4
$c_{F4}$	29,4,10 <sup>4</sup> kg.m <sup>-3</sup>	y	1,2
$c_{F5}$	1,3,10 <sup>4</sup> kg.m <sup>-3</sup>	y	21,3

Řešením soustavy rovnic (9) - (11) bylo nalezeno pro  $V_A = 0,35$  m<sup>3</sup>,  $V_{PA} = 2,5$  m<sup>3</sup>,  $\delta c_{F4} = 6,8$  kg.h<sup>-1</sup>.m<sup>-3</sup>,  $\delta c_{F5} = 0,1$  kg.h<sup>-1</sup>.m<sup>-3</sup> a pro hodnoty koncentraci fluoru ve vzdušně z tab.I:

$$V_1 = 2 575 \text{ m}^3 \cdot \text{h}^{-1}$$

$$V_2 = 9 025 \text{ m}^3 \cdot \text{h}^{-1}$$

$$V_3 = 6 450 \text{ m}^3 \cdot \text{h}^{-1}$$

Z celkového množství vzdušiny procházející absorbérem PA je asi 75 % nasáváno z prostoru leštění a 25 % prochází vícestupňovou absorpcí.

### Modelové výpočty

Soustava rovnic (1) až (6) byla řešena programem KOMAT [8,9], který kromě řešení soustavy rovnic vypočítá rovněž přesnost vypočtených veličin z hodnot přesnosti vstupních veličin. Tab.III uvádí přehled vstup-

Tab.IV - Vliv koncentrace  $c_{F4}$  na koncentraci  $c_{F5}$  v absorpcním systému a produkce absorpcní kyseliny  $M_{AK}$  o koncentraci 30 % hmot. H<sub>2</sub>SiF<sub>6</sub>

Koncentrace ze leštěního zařízení $c_{F4}$ [kg.m <sup>-3</sup> ] 10 <sup>4</sup>	Koncentrace v komíně $c_{F5}$ [kg.m <sup>-3</sup> ] 10 <sup>3</sup>	Produkce absorpcní kyseliny $M_{AK}$ [kg.h <sup>-1</sup> ]
927	1,32	10,6
2 000	1,36	22,6
5 000	1,43	55,3
10 000	1,67	109,3
50 000	3,21	543,3
100 000	5,14	1 086,0

Tab.V - Vliv účinnosti absorbérů na koncentraci fluoru ve vzdušně odcházející do atmosféry  $c_{F5}$  pro  $c_{F4} = 927,10^4 \text{ kg.m}^{-3}$

Č.	Koncentrace v komíně $c_{F5}$ [kg.m <sup>-3</sup> ] 10 <sup>3</sup>	Účinnost absorpcního stupně			
		$\beta_1$	$\beta_2$	$\beta_3$	$\beta_4$
1	2,88	0,9	0,9	0,9	0,9
2	3,12	0,9	0,9	0	0,9
3	5,45	0,9	0	0	0,9
4	28,52	0	0	0	0,9